

# Задачи анализа временных рядов, теория метода «Анализ Сингулярного Спектра» SSA

Яковлев Денис Михайлович, гр.21.Б04-мм

Санкт-Петербургский государственный университет  
Прикладная математика и информатика  
Вычислительная стохастика и статистические модели

3 курс (бак.) «Производственная практика  
(научно-исследовательская работа)»  
(Семестр 6)

Санкт-Петербург, 2024

Задачи анализа временных рядов

Задачи анализа временных рядов, теория  
метода «Анализ Сингулярного Спектра» SSA

Яковлев Денис Михайлович, гр.21.Б04-мм  
Санкт-Петербургский государственный университет  
Прикладная математика и информатика  
Вычислительная стохастика и статистические модели

3 курс (бак.) «Производственная практика  
(научно-исследовательская работа)»  
(Семестр 6)

Санкт-Петербург, 2024

Научный руководитель к.ф.-м.н., доцент Некруткин В.В.,  
кафедра статистического моделирования

*Моя отметка за работу Дениса Яковлева – 5 с минусом (очень хорошо). 5 за результат, минус – за стиль работы.*

# Задачи анализа временных рядов, теория метода «Анализ Сингулярного Спектра» SSA

Яковлев Денис Михайлович, гр.21.Б04-мм

Санкт-Петербургский государственный университет  
Прикладная математика и информатика  
Вычислительная стохастика и статистические модели

3 курс (бак.) «Производственная практика  
(научно-исследовательская работа)»  
(Семестр 6)

Санкт-Петербург, 2024

Задачи анализа временных рядов

Задачи анализа временных рядов, теория  
метода «Анализ Сингулярного Спектра» SSA

Яковлев Денис Михайлович, гр.21.Б04-мм  
Санкт-Петербургский государственный университет  
Прикладная математика и информатика  
Вычислительная стохастика и статистические модели

3 курс (бак.) «Производственная практика  
(научно-исследовательская работа)»  
(Семестр 6)

Санкт-Петербург, 2024

Научный руководитель к.ф.-м.н., доцент Некруткин В.В.,  
кафедра статистического моделирования

- Цель работы — решение теоретических и прикладных задач анализа временных рядов с применением метода SSA.
- Используемый метод — SSA (Singular Spectrum Analysis), или «Анализ Сингулярного Спектра» (сокращенно, АСС).
- Задача — исследование поведения ошибок восстановления ряда в асимптотическом случае.

## Задачи анализа временных рядов

### └ Введение

#### Введение

- Цель работы — решение теоретических и прикладных задач анализа временных рядов с применением метода SSA.
- Используемый метод — SSA (Singular Spectrum Analysis), или «Анализ Сингулярного Спектра» (сокращенно, АСС).
- Задача — исследование поведения ошибок восстановления ряда в асимптотическом случае.

Целью этой работы является решение теоретических и прикладных задач по анализу временных рядов с применением знаний о методе SSA (Singular Spectrum Analysis), или «Анализ Сингулярного Спектра» (сокращенно, АСС). Ознакомиться с методом АСС можно в [1], а в [2] описывается теоретическая часть метода АСС. Общая задача состоит в том, чтобы оценить ошибки восстановления ряда.

## Определение 1 (Сигнал)

Вещественный сигнал  $H = (h_0, h_1, \dots, h_n, \dots)$ , управляется линейной рекуррентной формулой (ЛРФ) порядка  $d$

$$h_n = \sum_{k=1}^d a_k h_{n-k}, \quad n \geq d, \quad a_d > 0.$$

$$H_N = (h_0, h_1, \dots, h_N).$$

## Определение 2 (Помеха)

Помеха —  $E_N = (e_0, \dots, e_N)$ .

## Задачи анализа временных рядов

### └ Обозначения

#### Обозначения

##### Определение 1 (Сигнал)

Вещественный сигнал  $H = (h_0, h_1, \dots, h_n, \dots)$ , управляется линейной рекуррентной формулой (ЛРФ) порядка  $d$

$$h_n = \sum_{k=1}^d a_k h_{n-k}, \quad n \geq d, \quad a_d > 0.$$

$$H_N = (h_0, h_1, \dots, h_N).$$

##### Определение 2 (Помеха)

Помеха —  $E_N = (e_0, \dots, e_N)$ .

Введём необходимые для постановки задачи определения и известные результаты. Начнём с определений. Рассматривается вещественный сигнал  $H$ , причем предполагается, что ряд управляется линейной рекуррентной формулой (ЛРФ) порядка  $d$  с  $a_d > 0$ , которая является минимальной в том смысле, что не существует ЛРФ меньшего порядка, управляющей рядом  $H$ . Так как нас интересует использование метода SSA, будем рассматривать отрезки длины  $N$ . Кроме того, вводится помеха  $E$ , некоторый ряд из вещественных значений.

## Определение 3 (Траекторная матрица)

Пусть  $1 \leq L < N$  — длина окна,  $K = N - L + 1$ . Тогда траекторной матрицей сигнала  $\mathbf{H}_N = (h_0, h_1, \dots, h_N)$  называется матрица  $\mathbf{H}$  размера  $L \times K$  вида:

$$\begin{pmatrix} h_0 & h_1 & h_2 & \dots & h_{K-1} \\ h_1 & h_2 & h_3 & \dots & h_K \\ h_2 & h_3 & h_4 & \dots & h_{K+1} \\ \vdots & \vdots & \vdots & \ddots & \vdots \\ h_{L-1} & h_L & h_{L+1} & \dots & h_{N-1} \end{pmatrix}$$

## Замечание 1 (Размеры матриц)

Считаем, что все рассматриваемые матрицы размера  $L \times K$ , если не оговорено иначе.

## Задачи анализа временных рядов

### Обозначения

#### Обозначения

##### Определение 3 (Траекторная матрица)

Пусть  $1 \leq L < N$  — длина окна,  $K = N - L + 1$ . Тогда траекторной матрицей сигнала  $\mathbf{H}_N = (h_0, h_1, \dots, h_N)$  называется матрица  $\mathbf{H}$  размера  $L \times K$  вида:

$$\begin{pmatrix} h_0 & h_1 & h_2 & \dots & h_{K-1} \\ h_1 & h_2 & h_3 & \dots & h_K \\ h_2 & h_3 & h_4 & \dots & h_{K+1} \\ \vdots & \vdots & \vdots & \ddots & \vdots \\ h_{L-1} & h_L & h_{L+1} & \dots & h_{N-1} \end{pmatrix}$$

##### Замечание 1 (Размеры матриц)

Считаем, что все рассматриваемые матрицы размера  $L \times K$ , если не оговорено иначе.

Пользуясь методом SSA, введём траекторные матрицы для сигнала и помехи. Хотя траекторные матрицы не используются в явном виде при решении поставленных задач, само определение должно помочь в понимании последующих определений и результатов.

## Замечание 2 (Ранг матрицы)

$d = \text{rank } \mathbf{H} < \min(L, K)$  — ранг траекторной матрицы  $\mathbf{H}$ , образованной от сигнала  $\mathbf{H}$ , управляемого ЛРФ порядка  $d$ .

## Определение 4 (Матрица возмущённого сигнала)

Пусть  $\delta \in \mathbb{R}$  — формальный параметр возмущения,  $\mathbf{E}$  — траекторная матрица  $\mathbf{E}_N$ ,  $\mathbf{H} = \mathbf{H}_N$  соответственно. Тогда  $\mathbf{H}(\delta) = \mathbf{H} + \delta \mathbf{E}$  — матрица возмущённого сигнала.

## Замечание 3

$\mathbf{H}(0) = \mathbf{H}$ .

## Задачи анализа временных рядов

### └─ Обозначения

#### Обозначения

##### Замечание 2 (Ранг матрицы)

$d = \text{rank } \mathbf{H} < \min(L, K)$  — ранг траекторной матрицы  $\mathbf{H}$ , образованной от сигнала  $\mathbf{H}$ , управляемого ЛРФ порядка  $d$ .

##### Определение 4 (Матрица возмущённого сигнала)

Пусть  $\delta \in \mathbb{R}$  — формальный параметр возмущения,  $\mathbf{E}$  — траекторная матрица  $\mathbf{E}_N$ ,  $\mathbf{H} = \mathbf{H}_N$  соответственно. Тогда  $\mathbf{H}(\delta) = \mathbf{H} + \delta \mathbf{E}$  — матрица возмущённого сигнала.

##### Замечание 3

$\mathbf{H}(0) = \mathbf{H}$ .

В отношении введённой траекторной матрицы также необходимо уточнить её ранг, который напрямую связан с порядком линейной рекуррентной формулы  $d$ . Теперь рассмотрим формальное определение сигнала с помехой. Пусть формальный параметр возмущения  $\delta$  вещественный,  $\mathbf{E}$  — траекторная матрица помехи, а  $\mathbf{H}$  — траекторная матрица сигнала. Тогда  $\mathbf{H}(\delta) = \mathbf{H} + \delta \mathbf{E}$  — сигнал с параметризуемой помехой.

Определение 5 (Возмущённая матрица для сингулярного разложения)

$$\mathbf{A}(\delta) = \mathbf{H}(\delta)\mathbf{H}(\delta)^T = \mathbf{H}\mathbf{H}^T + \delta(\mathbf{H}\mathbf{E}^T + \mathbf{E}\mathbf{H}^T) + \delta^2\mathbf{E}\mathbf{E}^T,$$

$\mathbf{A}(\delta)$  — возмущённая матрица размера  $L \times L$ .

Замечание 4

$$\mathbf{A}(0) = \mathbf{A} = \mathbf{H}\mathbf{H}^T.$$

Определение 6 (Наименьшее и наибольшее ненулевые собственные числа)

Пусть  $\{\mu_n\}_{n=1}^L$  — собственные числа  $\mathbf{A}$ . Тогда  $\mu_{\min}, \mu_{\max}$  — наименьшее и наибольшее ненулевые собственные числа.

## Задачи анализа временных рядов

### └ Обозначения

#### Обозначения

Определение 5 (Возмущённая матрица для сингулярного разложения)

$$\mathbf{A}(\delta) = \mathbf{H}(\delta)\mathbf{H}(\delta)^T = \mathbf{H}\mathbf{H}^T + \delta(\mathbf{H}\mathbf{E}^T + \mathbf{E}\mathbf{H}^T) + \delta^2\mathbf{E}\mathbf{E}^T,$$

$\mathbf{A}(\delta)$  — возмущённая матрица размера  $L \times L$ .

Замечание 4

$$\mathbf{A}(0) = \mathbf{A} = \mathbf{H}\mathbf{H}^T.$$

Определение 6 (Наименьшее и наибольшее ненулевые собственные числа)

Пусть  $\{\mu_n\}_{n=1}^L$  — собственные числа  $\mathbf{A}$ . Тогда  $\mu_{\min}, \mu_{\max}$  — наименьшее и наибольшее ненулевые собственные числа.

Как известно из метода SSA, для отделения сигнала от помехи рассматриваем указанную матрицу. Кроме того, из свойств матрицы  $\mathbf{A}$  следует, что все её собственные числа неотрицательны и вещественны.

## Определение 7 (Собственные подпространства матрицы $A$ )

Пусть  $\{U_n\}_{n=1}^L$  — собственные вектора размера  $L \times 1$  матрицы  $A$ . Тогда  $\mathbb{U}_0$  — собственное подпространство, соответствующее нулевым собственным числам, а  $\mathbb{U}_0^\perp$  — соответствует ненулевым собственным числам.

## Определение 8 (Ортогональные проекторы собственных подпространств)

Пусть  $I$  — единичная матрица размера  $L \times L$ . Тогда  $P_0$  — ортогональный проектор на  $\mathbb{U}_0$ , а  $P_0^\perp = I - P_0$  — ортогональный проектор на  $\mathbb{U}_0^\perp$ .  $P_0, P_0^\perp$  — матрицы размера  $L \times L$ .

## Замечание 5

$$P_0^\perp H = H.$$

## Задачи анализа временных рядов

### — Обозначения

#### Обозначения

##### Определение 7 (Собственные подпространства матрицы $A$ )

Пусть  $\{U_n\}_{n=1}^L$  — собственные вектора размера  $L \times 1$  матрицы  $A$ . Тогда  $\mathbb{U}_0$  — собственное подпространство, соответствующее нулевым собственным числам, а  $\mathbb{U}_0^\perp$  — соответствует ненулевым собственным числам.

##### Определение 8 (Ортогональные проекторы собственных подпространств)

Пусть  $I$  — единичная матрица размера  $L \times L$ . Тогда  $P_0$  — ортогональный проектор на  $\mathbb{U}_0$ , а  $P_0^\perp = I - P_0$  — ортогональный проектор на  $\mathbb{U}_0^\perp$ .  $P_0, P_0^\perp$  — матрицы размера  $L \times L$ .

##### Замечание 5

$$P_0^\perp H = H.$$

Продолжая разговор про матрицу  $A$ , заметим, что её собственные вектора (левые сингулярные векторы) можно разбить на два подпространства: собственное подпространство *ненулевых* и *нулевых* собственных чисел. Более того, для введения и объяснения результатов нам понадобится понятие ортогональных проекторов.

Заметим, что, в связи с таким разбиением проекторов, матрица  $H = IH = (P_0^\perp + P_0)H = P_0^\perp H$ .



## Замечание 6 (Про матричные нормы)

Полагаем  $\|\cdot\|$  — спектральная норма. В иных случаях явно указываем норму.

Например, максимальная норма  $\|\cdot\|_{\max}$ .

## Определение 9 (Псевдообратная матрица)

Пусть  $S_0$  — матрица размера  $L \times L$ , псевдообратная к  $\mathbf{H}\mathbf{H}^T$ .

Положим  $S_0^{(0)} = -\mathbf{P}_0$  и  $S_0^{(k)} = S_0^k$  для  $k \geq 1$ ,  $\|S_0^{(k)}\| = 1/\mu_{\min}^k$ .

## Определение 10 (Возмущение матрицы $\mathbf{A}(\delta)$ )

Зависящую от  $\delta$  часть матрицы  $\mathbf{A}(\delta)$  будем обозначать  $\mathbf{B}(\delta)$ .

Тогда  $\mathbf{B}(\delta) = \delta(\mathbf{H}\mathbf{E}^T + \mathbf{E}\mathbf{H}^T) + \delta^2\mathbf{E}\mathbf{E}^T$ .

## Задачи анализа временных рядов

### └─Обозначения

#### Обозначения

##### Замечание 6 (Про матричные нормы)

Полагаем  $\|\cdot\|$  — спектральная норма. В иных случаях явно указываем норму.

Например, максимальная норма  $\|\cdot\|_{\max}$ .

##### Определение 9 (Псевдообратная матрица)

Пусть  $S_0$  — матрица размера  $L \times L$ , псевдообратная к  $\mathbf{H}\mathbf{H}^T$ .

Положим  $S_0^{(0)} = -\mathbf{P}_0$  и  $S_0^{(k)} = S_0^k$  для  $k \geq 1$ ,  $\|S_0^{(k)}\| = 1/\mu_{\min}^k$ .

##### Определение 10 (Возмущение матрицы $\mathbf{A}(\delta)$ )

Зависящую от  $\delta$  часть матрицы  $\mathbf{A}(\delta)$  будем обозначать  $\mathbf{B}(\delta)$ .

Тогда  $\mathbf{B}(\delta) = \delta(\mathbf{H}\mathbf{E}^T + \mathbf{E}\mathbf{H}^T) + \delta^2\mathbf{E}\mathbf{E}^T$ .

В случае, если не указано иное, воспринимаем норму как спектральную. Определим  $S_0$  — псевдообратную матрицу к  $\mathbf{H}\mathbf{H}^T$ . Положим  $S_0^{(0)} = -\mathbf{P}_0$  и  $S_0^{(k)} = S_0^k$  для  $k \geq 1$ ,  $\|S_0^{(k)}\| = 1/\mu_{\min}^k$ . Также пригодится для представления результатов возмущение матрицы  $\mathbf{A}(\delta)$ .

## Определение 11 (Ошибка восстановления)

Пусть  $\tilde{H}_N(\delta) = (\tilde{h}_0(\delta), \tilde{h}_1(\delta), \dots, \tilde{h}_N(\delta))$  — восстановленный сигнал из  $H_N(\delta) = (h_0 + \delta e_0, h_1 + \delta e_1, \dots, h_N + \delta e_N)$ , полученный методом SSA.

Тогда  $r_i(N) = \tilde{h}_i(\delta) - h_i$ ,  $0 \leq i < N$  — ошибка восстановления.

## Определение 12 (Оператор ганкелевизации)

$\mathcal{S}$  — оператор диагонального усреднения (ганкелевизации).

## Замечание 7 (Оператор ганкелевизации для траекторной матрицы сигнала)

$$\mathcal{S}H = H.$$

## Задачи анализа временных рядов

### └ Обозначения

#### Обозначения

##### Определение 11 (Ошибка восстановления)

Пусть  $\tilde{H}_N(\delta) = (\tilde{h}_0(\delta), \tilde{h}_1(\delta), \dots, \tilde{h}_N(\delta))$  — восстановленный сигнал из  $H_N(\delta) = (h_0 + \delta e_0, h_1 + \delta e_1, \dots, h_N + \delta e_N)$ , полученный методом SSA.

Тогда  $r_i(N) = \tilde{h}_i(\delta) - h_i$ ,  $0 \leq i < N$  — ошибка восстановления.

##### Определение 12 (Оператор ганкелевизации)

$\mathcal{S}$  — оператор диагонального усреднения (ганкелевизации).

##### Замечание 7 (Оператор ганкелевизации для траекторной матрицы сигнала)

$\mathcal{S}H = H$ .

Итак, перейдём к постановке общей задачи. Для этого введём ошибку восстановления, как разность между восстановленным сигналом и самим сигналом. Восстановленный сигнал получаем из сигнала с параметризуемой помехой методом SSA. Заметим, что по построению траекторной матрицы, она является ганкелевой. Поэтому использование оператора ганкелевизации её не изменит.

## Постановка 1 (Общая задача)

Пусть  $\mathbf{N}$  — некоторая матрица размера  $L \times L$ . Так как  $\|\mathbf{S}\mathbf{A}\|_{\max} \leq \|\mathbf{A}\|_{\max}$  и  $\|\mathbf{A}\|_{\max} \leq \|\mathbf{A}\|$  для любой конечномерной матрицы  $\mathbf{A}$ :

$$\begin{aligned} \max_{0 \leq n < N} |r_i(N)| &= \|\mathbf{S}\Delta_\delta(\mathbf{H})\|_{\max} \leq \|\Delta_\delta(\mathbf{H})\|_{\max} \\ &\leq \left\| (\mathbf{P}_0^\perp(\delta) - \mathbf{P}_0^\perp - \mathbf{N})\mathbf{H}(\delta) \right\| + \left\| \mathbf{N}\mathbf{H}(\delta) + \delta\mathbf{P}_0^\perp\mathbf{E} \right\|_{\max}, \quad (1) \end{aligned}$$

где  $\Delta_\delta(\mathbf{H}) = \mathbf{P}_0^\perp(\delta)\mathbf{H}(\delta) - \mathbf{P}_0^\perp\mathbf{H}$ .

Общая задача: подобрать такую  $\mathbf{N}$ , чтобы правая часть (1) стремилась к нулю.

## Задачи анализа временных рядов

### └ Постановка общей задачи

#### Постановка общей задачи

##### Постановка 1 (Общая задача)

Пусть  $\mathbf{N}$  — некоторая матрица размера  $L \times L$ . Так как  $\|\mathbf{S}\mathbf{A}\|_{\max} \leq \|\mathbf{A}\|_{\max}$  и  $\|\mathbf{A}\|_{\max} \leq \|\mathbf{A}\|$  для любой конечномерной матрицы  $\mathbf{A}$ :

$$\begin{aligned} \max_{0 \leq n < N} |r_i(N)| &= \|\mathbf{S}\Delta_\delta(\mathbf{H})\|_{\max} \leq \|\Delta_\delta(\mathbf{H})\|_{\max} \\ &\leq \left\| (\mathbf{P}_0^\perp(\delta) - \mathbf{P}_0^\perp - \mathbf{N})\mathbf{H}(\delta) \right\| + \left\| \mathbf{N}\mathbf{H}(\delta) + \delta\mathbf{P}_0^\perp\mathbf{E} \right\|_{\max}, \quad (1) \end{aligned}$$

где  $\Delta_\delta(\mathbf{H}) = \mathbf{P}_0^\perp(\delta)\mathbf{H}(\delta) - \mathbf{P}_0^\perp\mathbf{H}$ .

Общая задача: подобрать такую  $\mathbf{N}$ , чтобы правая часть (1) стремилась к нулю.

Рассмотрим максимальный модуль ошибок восстановления ряда при длине ряда  $N$ . Для него верна следующая оценка для произвольной матрицы  $\mathbf{N}$  размера  $L \times L$ .

Общая задача состоит в следующем: подобрать такую матрицу  $\mathbf{N}$ , чтобы правая часть стремилась к нулю.

## Формулировка 1 (Оценка нормы)

Оценить выражение сверху

$\forall n \in \mathbb{N} : \left\| \mathbf{P}_0^\perp(\delta) - \mathbf{P}_0^\perp - \sum_{p=1}^n \mathbf{W}_p(\delta) \right\|$ ,  $\mathbf{W}_p(\delta)$  — матрицы размера  $L \times L$  такие, что

$$\mathbf{W}_p(\delta) = (-1)^p \sum_{l_1 + \dots + l_{p+1} = p, l_j \geq 0} \mathbf{W}_p(l_1, \dots, l_{p+1}; \delta),$$

а

$$\mathbf{W}_p(l_1, \dots, l_{p+1}; \delta) = \mathbf{S}_0^{(l_1)} \mathbf{B}(\delta) \mathbf{S}_0^{(l_2)} \dots \mathbf{S}_0^{(l_p)} \mathbf{B}(\delta) \mathbf{S}_0^{(l_{p+1})}.$$

## Задачи анализа временных рядов

└ Формулировка

Формулировка

Формулировка 1 (Оценка нормы)

Оценить выражение сверху

$\forall n \in \mathbb{N} : \left\| \mathbf{P}_0^\perp(\delta) - \mathbf{P}_0^\perp - \sum_{p=1}^n \mathbf{W}_p(\delta) \right\|$ ,  $\mathbf{W}_p(\delta)$  — матрицы размера  $L \times L$  такие, что

$$\mathbf{W}_p(\delta) = (-1)^p \sum_{l_1 + \dots + l_{p+1} = p, l_j \geq 0} \mathbf{W}_p(l_1, \dots, l_{p+1}; \delta),$$

а

$$\mathbf{W}_p(l_1, \dots, l_{p+1}; \delta) = \mathbf{S}_0^{(l_1)} \mathbf{B}(\delta) \mathbf{S}_0^{(l_2)} \dots \mathbf{S}_0^{(l_p)} \mathbf{B}(\delta) \mathbf{S}_0^{(l_{p+1})}.$$

Сформулируем первую теоретическую задачу, которую можно увидеть на слайде. В качестве матрицы  $\mathbf{N}$  будем рассматривать суммы матриц из  $\mathbf{W}_p(\delta)$ .

Для чего это нужно? Дело в том, что первое слагаемое оценки не обязательно стремится к нулю, поэтому мы хотим подбирать такие матрицы  $\mathbf{N}$ , чтобы правая часть стремилась к нулю. Также хотим, чтобы структура  $\mathbf{N}$  была простой и понятной в использовании. Следующий известный результат позволит объяснить, почему была выбрана именно такая матрица  $\mathbf{N}$ .

Воспользуемся вспомогательными теоремами и леммами из [2].

## Теорема 1 (Теорема 2.1)

Пусть  $\delta_0 > 0$  и

$$\|\mathbf{B}(\delta)\| < \mu_{\min}/2$$

для всех  $\delta \in (-\delta_0, \delta_0)$ . Тогда для возмущённого проектора  $\mathbf{P}_0^\perp(\delta)$  верно представление:

$$\mathbf{P}_0^\perp(\delta) = \mathbf{P}_0^\perp + \sum_{p=1}^{\infty} \mathbf{W}_p(\delta).$$

## Задачи анализа временных рядов

### └ Известные результаты

Объясним матрицы  $\mathbf{W}_p(\delta)$  на следующем результате. Теорема 1 показывает, что матрицы  $\mathbf{W}_p(\delta)$  представляют собой члены разложения возмущённого проектора в бесконечный ряд. Поэтому можем сколько угодно близко приближать норму к 0 при ограничениях теоремы 1.

#### Известные результаты

Воспользуемся вспомогательными теоремами и леммами из [2].

##### Теорема 1 (Теорема 2.1)

Пусть  $\delta_0 > 0$  и

$$\|\mathbf{B}(\delta)\| < \mu_{\min}/2$$

для всех  $\delta \in (-\delta_0, \delta_0)$ . Тогда для возмущённого проектора  $\mathbf{P}_0^\perp(\delta)$  верно представление:

$$\mathbf{P}_0^\perp(\delta) = \mathbf{P}_0^\perp + \sum_{p=1}^{\infty} \mathbf{W}_p(\delta).$$

## Теорема 2 (Теорема 2.3)

Если  $\delta_0 > 0$  и  $\frac{\|\mathbf{B}(\delta)\|}{\mu_{\min}} < \frac{1}{4}$  для всех  $\delta \in (-\delta_0, \delta_0)$ , то проектор  $\mathbf{P}_0^\perp(\delta)$  существует и

$$\left\| \mathbf{P}_0^\perp(\delta) - \mathbf{P}_0^\perp \right\| \leq 4C \frac{\|\mathbf{S}_0 \mathbf{B}(\delta) \mathbf{P}_0\|}{1 - 4 \|\mathbf{B}(\delta)\| / \mu_{\min}},$$

где  $C = e^{1/6} / \sqrt{\pi} \approx 0.667$ .

## Лемма 1 (Лемма 6.1)

Если  $0 < \beta < 1/4$ ,  $k \geq 0$ , то  $\sum_{p=k}^{\infty} \binom{2p}{p} \beta^p \leq C \frac{(4\beta)^k}{1 - 4\beta}$ , где  $C = e^{1/6} / \sqrt{\pi}$ .

## Задачи анализа временных рядов

### └ Известные результаты

#### Известные результаты

##### Теорема 2 (Теорема 2.3)

Если  $\delta_0 > 0$  и  $\frac{\|\mathbf{B}(\delta)\|}{\mu_{\min}} < \frac{1}{4}$  для всех  $\delta \in (-\delta_0, \delta_0)$ , то проектор  $\mathbf{P}_0^\perp(\delta)$  существует и

$$\left\| \mathbf{P}_0^\perp(\delta) - \mathbf{P}_0^\perp \right\| \leq 4C \frac{\|\mathbf{S}_0 \mathbf{B}(\delta) \mathbf{P}_0\|}{1 - 4 \|\mathbf{B}(\delta)\| / \mu_{\min}},$$

где  $C = e^{1/6} / \sqrt{\pi} \approx 0.667$ .

##### Лемма 1 (Лемма 6.1)

Если  $0 < \beta < 1/4$ ,  $k \geq 0$ , то  $\sum_{p=k}^{\infty} \binom{2p}{p} \beta^p \leq C \frac{(4\beta)^k}{1 - 4\beta}$ , где  $C = e^{1/6} / \sqrt{\pi}$ .

Опишем известные результаты: теорема 2 ставит ограничения для возможности оценки нормы разности возмущённого и невозмущённого проекторов, даёт оценку остатка разложения, в то время как лемма 1 используется для доказательства как этой теоремы, так и полученного результата.

## Следствие 1

В условиях Теоремы 1,  $\forall n \in \mathbb{N}$ :

$$\left\| \mathbf{P}_0^\perp(\delta) - \mathbf{P}_0^\perp - \sum_{p=1}^n \mathbf{W}_p(\delta) \right\| \leq 4^{n+1} C \left( \frac{\|\mathbf{B}(\delta)\|}{\mu_{\min}} \right)^{n+1} \frac{1}{1 - 4 \|\mathbf{B}(\delta)\| / \mu_{\min}},$$

где  $C = e^{1/6} / \sqrt{\pi}$ .

## Задачи анализа временных рядов

└ Полученные результаты

Полученные результаты

Следствие 1

В условиях Теоремы 1,  $\forall n \in \mathbb{N}$ :

$$\left\| \mathbf{P}_0^\perp(\delta) - \mathbf{P}_0^\perp - \sum_{p=1}^n \mathbf{W}_p(\delta) \right\| \leq 4^{n+1} C \left( \frac{\|\mathbf{B}(\delta)\|}{\mu_{\min}} \right)^{n+1} \frac{1}{1 - 4 \|\mathbf{B}(\delta)\| / \mu_{\min}},$$

где  $C = e^{1/6} / \sqrt{\pi}$ .

Пользуясь известными результатами, получаем следующую оценку для произвольного натурального  $n$ .

## Постановка 2 (Линейный сигнал с гармониками)

Рассмотрим при  $n = 0, 1, \dots, N - 1$  линейный сигнал  $h_n = \theta_1 n + \theta_0$ , где  $\theta_1 \neq 0$ , и помеху, которая является линейной комбинацией гармоник

$$e_n = \sum_{l=1}^r \tau_l \cos(2\pi n \omega_l + \varphi_l),$$

где  $\tau_l \neq 0$ ,  $\tau_l \neq \tau_p$  и  $\omega_l \neq \omega_p$  при  $l \neq p$  и  $0 < \omega_l < 1/2$ .

Пусть  $\tilde{h}_0(\delta), \dots, \tilde{h}_{N-1}(\delta)$  — результаты восстановления ряда  $\{h_n + \delta e_n\}_{n=0}^{N-1}$  с помощью метода SSA, а  $r_n(N) = \tilde{h}_n(\delta) - h_n$ . Тогда теорема из [3] утверждает, что для любого  $\delta \in \mathbb{R}$  при  $N \rightarrow \infty$ .

$$\max_{0 \leq n < N} |r_n(N)| = O(N^{-1}).$$

## Задачи анализа временных рядов

### └ Постановка

#### Постановка

**Постановка 2 (Линейный сигнал с гармониками)**  
 Рассмотрим при  $n = 0, 1, \dots, N - 1$  линейный сигнал  $h_n = \theta_1 n + \theta_0$ , где  $\theta_1 \neq 0$ , и помеху, которая является линейной комбинацией гармоник

$$e_n = \sum_{l=1}^r \tau_l \cos(2\pi n \omega_l + \varphi_l),$$

где  $\tau_l \neq 0$ ,  $\tau_l \neq \tau_p$  и  $\omega_l \neq \omega_p$  при  $l \neq p$  и  $0 < \omega_l < 1/2$ .  
 Пусть  $\tilde{h}_0(\delta), \dots, \tilde{h}_{N-1}(\delta)$  — результаты восстановления ряда  $\{h_n + \delta e_n\}_{n=0}^{N-1}$  с помощью метода SSA, а  $r_n(N) = \tilde{h}_n(\delta) - h_n$ .  
 Тогда теорема из [3] утверждает, что для любого  $\delta \in \mathbb{R}$  при  $N \rightarrow \infty$ .

макс.  
ошибка  $|r_n(N)| = O(N^{-1})$ .

Теперь рассмотрим постановку теоретической задачи №2, для которой понадобится результат теоретической задачи №1. Рассматривается линейный сигнал с линейной комбинацией гармоник. Существует теорема о том, максимальная ошибка восстановления ряда для линейного сигнала с линейной комбинацией гармоник может быть оценена сверху некоторой константой, умноженной на  $N^{-1}$ .



# Формулировка и известные результаты

## Формулировка 2

Обобщить результат [3] с  $L = K$  при  $\mathbf{N} = \mathbf{W}_1$  до  $L/N \rightarrow \alpha \in (0, 1)$  с помощью выбора  $\mathbf{N} = \mathbf{W}_1 + \mathbf{W}_2$ .

Воспользуемся вспомогательными теоремами и леммами из [3]

## Лемма 2 (Лемма 1)

При  $N \rightarrow \infty$  имеет место соотношение  $\|\mathbf{H}\mathbf{E}^T\|_{\max} = O(N)$ .

## Лемма 3 (Лемма 2)

При  $N \rightarrow \infty$  имеет место соотношение  $\|\mathbf{P}_0^\perp \mathbf{E}\|_{\max} = O(N^{-1})$ .

## Лемма 4 (Лемма 3)

При  $N \rightarrow \infty$  имеет место соотношение  $\|\mathbf{S}_0 \mathbf{E}\| = O(N^{-4})$ .

## Задачи анализа временных рядов

### └ Формулировка и известные результаты

#### Формулировка и известные результаты

##### Формулировка 2

Обобщить результат [3] с  $L = K$  при  $\mathbf{N} = \mathbf{W}_1$  до  $L/N \rightarrow \alpha \in (0, 1)$  с помощью выбора  $\mathbf{N} = \mathbf{W}_1 + \mathbf{W}_2$ .

Воспользуемся вспомогательными теоремами и леммами из [3]

##### Лемма 2 (Лемма 1)

При  $N \rightarrow \infty$  имеет место соотношение  $\|\mathbf{H}\mathbf{E}^T\|_{\max} = O(N)$ .

##### Лемма 3 (Лемма 2)

При  $N \rightarrow \infty$  имеет место соотношение  $\|\mathbf{P}_0^\perp \mathbf{E}\|_{\max} = O(N^{-1})$ .

##### Лемма 4 (Лемма 3)

При  $N \rightarrow \infty$  имеет место соотношение  $\|\mathbf{S}_0 \mathbf{E}\| = O(N^{-4})$ .

Доказательство этой теоремы в источнике [3] было осуществлено с использованием матрицы  $\mathbf{N} = \mathbf{W}_1$ . Возникает вопрос: можно ли расширить множество используемых траекторных матриц, не нарушая результат теоремы? Для этого подберём другую матрицу  $\mathbf{N} = \mathbf{W}_1 + \mathbf{W}_2$ . Теперь сформулируем задачу и приведём известные результаты из [3], которые понадобятся при оценке максимального модуля ошибки восстановления ряда.

## Замечание 8

При  $\mathbf{N} = \mathbf{W}_1 + \mathbf{W}_2$  рассматривается неравенство

$$\max_{0 \leq i < N} |r_i(N)| \leq \left\| \left( \mathbf{P}_0^\perp(\delta) - \mathbf{P}_0^\perp - (\mathbf{W}_1 + \mathbf{W}_2) \right) \mathbf{H}(\delta) \right\| + \left\| (\mathbf{W}_1 + \mathbf{W}_2) \mathbf{H}(\delta) + \delta \mathbf{P}_0^\perp \mathbf{E} \right\|_{\max}.$$

## Предложение 1

Пусть  $L/N \rightarrow \alpha \in (0, 1)$ . Тогда для любого  $\delta$

$$\left\| \left( \mathbf{P}_0^\perp(\delta) - \mathbf{P}_0^\perp - \mathbf{W}_1(\delta) - \mathbf{W}_2(\delta) \right) \mathbf{H}(\delta) \right\| = O(N^{-1}).$$

## Предложение 2

В условиях Предложения 1

$$\|(\mathbf{W}_1(\delta) + \mathbf{W}_2(\delta))\mathbf{H}(\delta)\|_{\max} = O(N^{-1}).$$

## Задачи анализа временных рядов

### └ Полученные результаты

#### Полученные результаты

##### Замечание 8

При  $\mathbf{N} = \mathbf{W}_1 + \mathbf{W}_2$  рассматривается неравенство

$$\max_{0 \leq i < N} |r_i(N)| \leq \left\| \left( \mathbf{P}_0^\perp(\delta) - \mathbf{P}_0^\perp - (\mathbf{W}_1 + \mathbf{W}_2) \right) \mathbf{H}(\delta) \right\| + \left\| (\mathbf{W}_1 + \mathbf{W}_2) \mathbf{H}(\delta) + \delta \mathbf{P}_0^\perp \mathbf{E} \right\|_{\max}.$$

##### Предложение 1

Пусть  $L/N \rightarrow \alpha \in (0, 1)$ . Тогда для любого  $\delta$

$$\left\| \left( \mathbf{P}_0^\perp(\delta) - \mathbf{P}_0^\perp - \mathbf{W}_1(\delta) - \mathbf{W}_2(\delta) \right) \mathbf{H}(\delta) \right\| = O(N^{-1}).$$

##### Предложение 2

В условиях Предложения 1

$$\|(\mathbf{W}_1(\delta) + \mathbf{W}_2(\delta))\mathbf{H}(\delta)\|_{\max} = O(N^{-1}).$$

В качестве полученных результатов выделим Предложение 1 и Предложение 2, которые являются переформулировками предложений из [3] для рассматриваемого случая обобщения. В результате получим обобщение результата из [3] с  $L = K$  при  $\mathbf{N} = \mathbf{W}_1$  до  $L/N \rightarrow \alpha \in (0, 1)$  при  $\mathbf{N} = \mathbf{W}_1 + \mathbf{W}_2$ .

## Формулировка 3

Проиллюстрировать теоретический результат задачи №2 для ряда

$$\tilde{h}_n = n + 3 \cos(2\pi n\omega + \varphi),$$

где  $\omega = 1/4$ ,  $\varphi = \pi/8$ ,  $n = 0, 1, \dots, N-1$ ,  $N = 9 \dots 200$ , длина окна  $L = \lfloor N/3 \rfloor$ .

## Задачи анализа временных рядов

### └ Приложение. Результаты вычислительных экспериментов

Приложение. Результаты вычислительных экспериментов

#### Формулировка 3

Проиллюстрировать теоретический результат задачи №2 для ряда

$$\tilde{h}_n = n + 3 \cos(2\pi n\omega + \varphi),$$

где  $\omega = 1/4$ ,  $\varphi = \pi/8$ ,  $n = 0, 1, \dots, N-1$ ,  $N = 9 \dots 200$ , длина окна  $L = \lfloor N/3 \rfloor$ .

Для подтверждения результатов теоретической задачи №2 проведём вычислительный эксперимент. Рассмотрим следующий ряд при длине окна  $L$  приблизительно равной длине ряда  $N$ , делённой на 3. Проиллюстрируем результаты.

Максимальная ошибка восстановления ряда  $L \sim N/3$

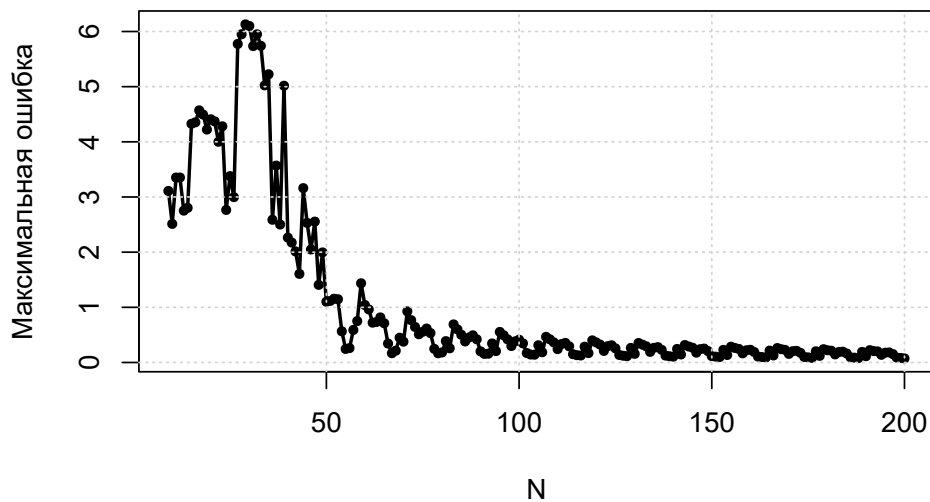


Рис. 1: Максимальные ошибки восстановления ряда в зависимости от длины ряда при  $\tilde{h}_n = n + 3 \cos(\pi n/2 + \pi/8)$ .

## Задачи анализа временных рядов

└ Приложение. Результаты вычислительных экспериментов

Приложение. Результаты вычислительных экспериментов

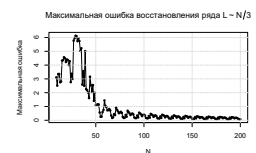


Рис. 1: Максимальные ошибки восстановления ряда в зависимости от длины ряда при  $\tilde{h}_n = n + 3 \cos(\pi n/2 + \pi/8)$ .

Прокомментируем результаты вычислительного эксперимента: по рисунку 1 убедимся, что максимальные по модулю ошибки восстановления ряда стремятся к нулю с ростом  $N$ .

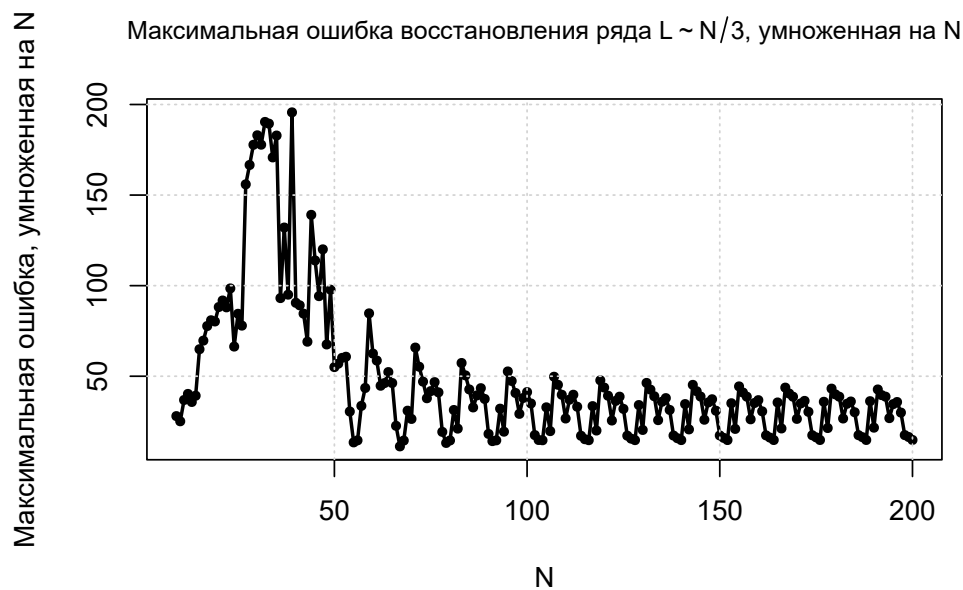


Рис. 2: Максимальные ошибки восстановления ряда, умноженные на  $N$ , в зависимости от длины ряда  $N$  для  $x_n = n + 3 \cos(\pi n/2 + \pi/8)$ .

## Задачи анализа временных рядов

└ Приложение. Результаты вычислительных экспериментов

Приложение. Результаты вычислительных экспериментов

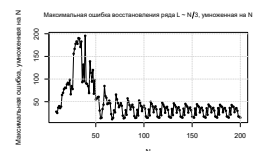


Рис. 2: Максимальные ошибки восстановления ряда, умноженные на  $N$ , в зависимости от длины ряда  $N$  для  $x_n = n + 3 \cos(\pi n/2 + \pi/8)$ .

Рисунок 2 демонстрирует, что после умножения ряда рисунка 1 на  $N$  максимальные по модулю ошибки восстановления ряда становятся ограниченными, что подтверждает полученный результат.

- 1 Поставлена общая теоретическая задача;
- 2 Дана оценка  $\|\mathbf{P}_0^\perp(\delta) - \mathbf{P}_0^\perp - \sum_{p=1}^n \mathbf{W}_p(\delta)\| \forall n \in \mathbb{N}$ ;
- 3 Обобщён результат [3] асимптотической разделимости линейного сигнала с линейной комбинацией гармоник с  $L = K$  до  $L/N \rightarrow \alpha \in (0, 1)$ ;
- 4 Проведён вычислительный эксперимент, подтверждающий полученный результат.




## Задачи анализа временных рядов

### └ Заключение

#### Заключение

- Поставлена общая теоретическая задача;
- Дана оценка  $\|\mathbf{P}_0^\perp(\delta) - \mathbf{P}_0^\perp - \sum_{p=1}^n \mathbf{W}_p(\delta)\| \forall n \in \mathbb{N}$ ;
- Обобщён результат [3] асимптотической разделимости линейного сигнала с линейной комбинацией гармоник с  $L = K$  до  $L/N \rightarrow \alpha \in (0, 1)$ ;
- Проведён вычислительный эксперимент, подтверждающий полученный результат.




В ходе проделанных работ были изучены теоретические свойства метода SSA, поставлена общая теоретическая задача, дана оценка **нормы разностей ортогональных проекций с дубль-вэ для произвольного  $n$** , обобщён случай асимптотической разделимости линейного сигнала с линейной комбинацией гармоник с  $L = K$  до  $L/N \rightarrow \alpha \in (0, 1)$ , а также проведён вычислительный эксперимент, подтверждающий полученный результат.

-  GOLYANDINA, N., NEKRUTKIN, V. AND ZHIGLJAVSKY, A. (2001). *Analysis of Time Series Structure. SSA and Related Techniques*. Champan & Hall/CRC, Boca Raton-London-New York-Washington D.C.
-  NEKRUTKIN, V. (2010). *Perturbation expansions of signal subspaces for long signals*. *Statistics and Its Interface*. **3**, 297–319.
-  Н.Зенкова, В.Некруткин. Об асимптотической разделимости линейных сигналов с гармониками методом анализа сингулярного спектра, Вестник СПбГУ. Математика. Механика. Астрономия. 2022. Т. 9 (67). Вып. 2.

## Задачи анализа временных рядов

### └Список литературы

#### Список литературы

-  GOLYANDINA, N., NEKRUTKIN, V. AND ZHIGLJAVSKY, A. (2001). *Analysis of Time Series Structure. SSA and Related Techniques*. Champan & Hall/CRC, Boca Raton-London-New York-Washington D.C.
-  NEKRUTKIN, V. (2010). *Perturbation expansions of signal subspaces for long signals*. *Statistics and Its Interface*. **3**, 297–319.
-  Н.Зенкова, В.Некруткин. Об асимптотической разделимости линейных сигналов с гармониками методом анализа сингулярного спектра, Вестник СПбГУ. Математика. Механика. Астрономия. 2022. Т. 9 (67). Вып. 2.

На данном слайде представлен список основных источников, используемых в моей работе. Спасибо за внимание.